

FIG. 16A-C

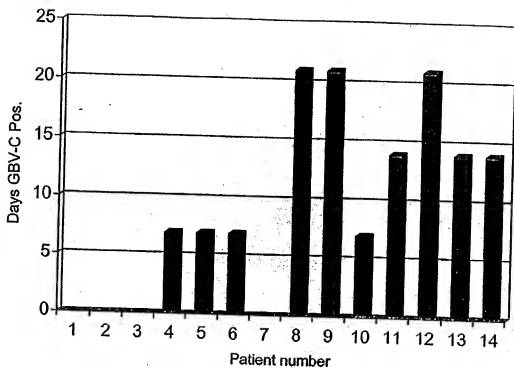


FIG. 17

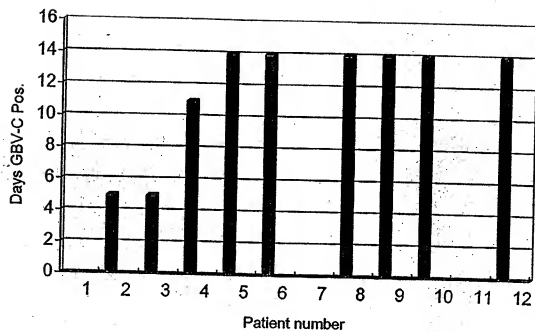


FIG. 18

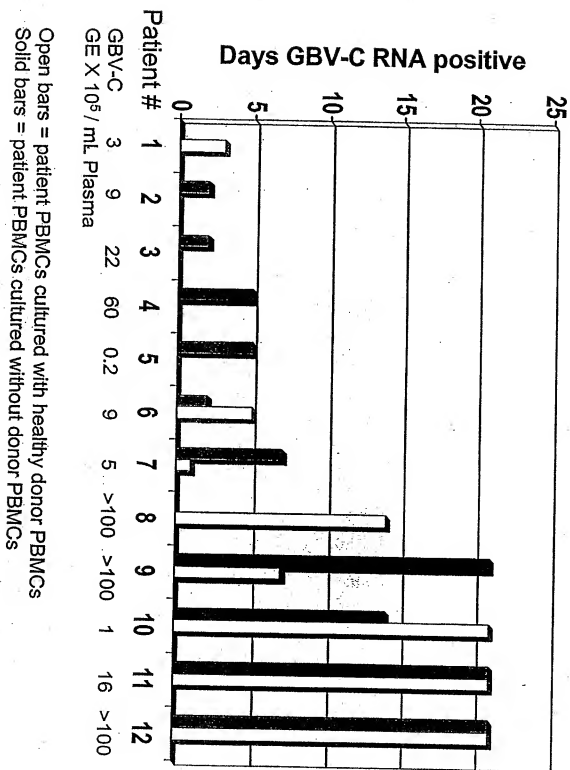


FIG. 19A

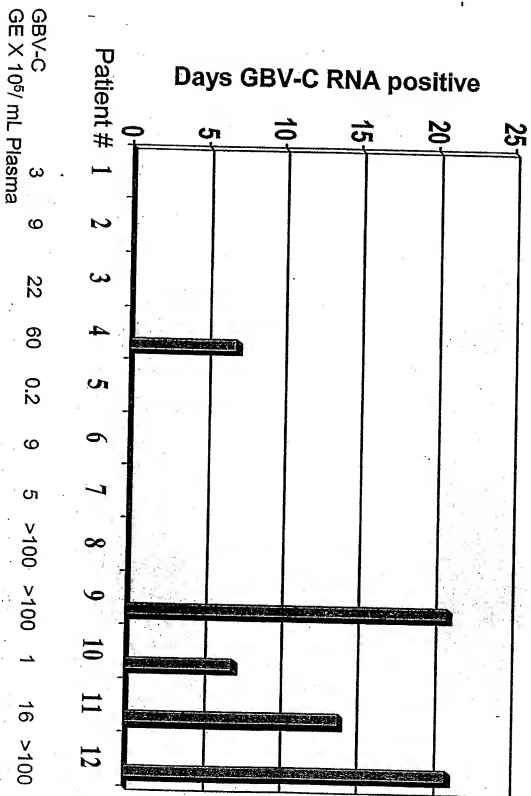


FIG. 19B

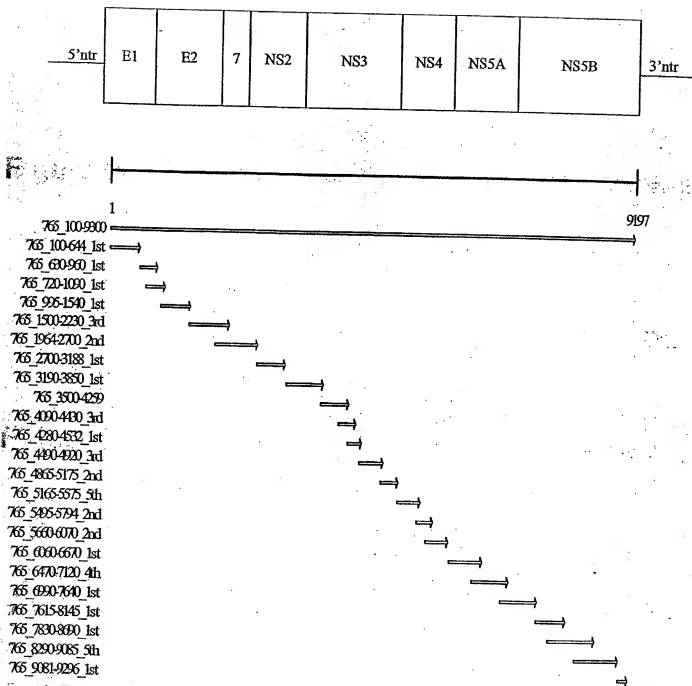


FIG. 20

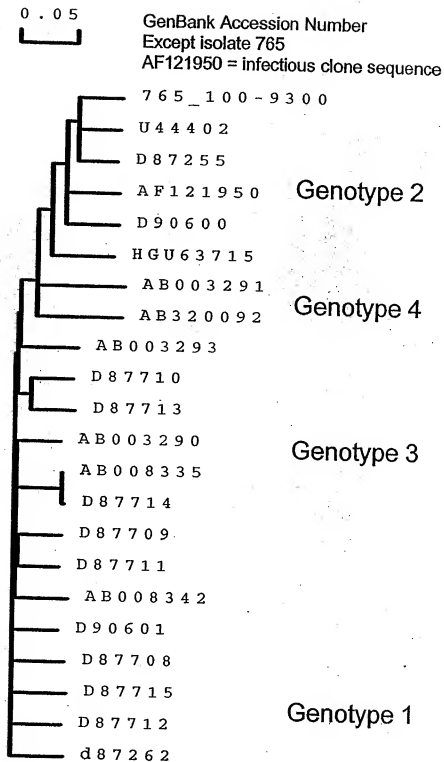


FIG. 21

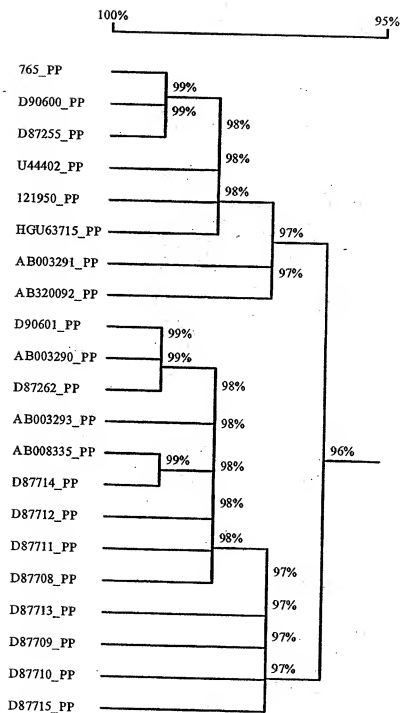
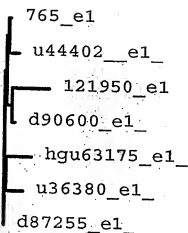


FIG. 22

GBV-C phylogenetic relationships by protein coding region.

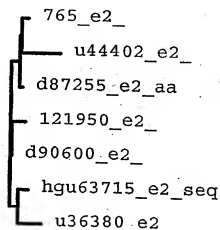
A

0.05



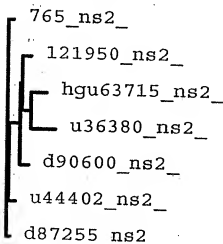
B

0.05



C

0.05



D

0.05

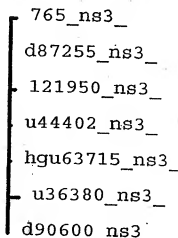


FIG. 23A-D

GBV-C phylogenetic relationships by protein coding region.

E

0.05

765_ns4a_
 d87255_ns4a_
 u44402_ns4a_
 121950_ns4a_
 hgu63715_ns4a_
 u36380_ns4a_
 d90600_ns4a_

F

0.05

765_ns5a_
 d87255_ns5a_
 121950_ns5a_
 u44402_ns5a_
 hgu63715_ns5a_
 d90600_ns5a_

G

0.05

765_ns5b_
 u44402_ns5b_
 121950_ns5b_
 d90600_ns5b_
 d87255_ns5b_
 hgu63715_ns5b_

FIG. 23E-G

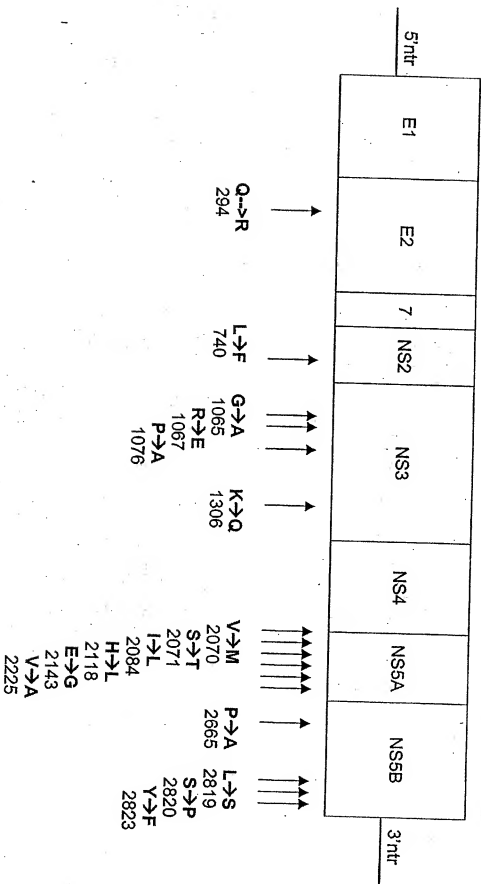


FIG. 24

121950 VALVREPKYDEVQGVYWDLWEMIMRQVRMVMARLRALCPVSLPLWHCGEGWSGE
765

121950 WLLDGHVESRCLCGCVITGDVNLGOLKDPVSTKLCRHYWMGTVPVNMILGYGETSPLLA
765

121950 SDTPKVVPFGTSGWAEVVPTHVIRRTSAYKLLRQILSAAVAEPYVVDGIPVSWDADA
765

121950 RAPAMVYGPQGQSVTIDGERYTLPHQLRLRNVPAPSEVSSEVSIDIGTETEDSELTEADLP
765

121950 AAALQAIENARILEPHIDVIMEDCSTPSLCGSSREMPVWGEDIPTPSPALISVTESSPDE
765

121950 KTPSVSSSQEDTPSSDSFEVIEQSETAEGEESVFNVALSVLKALFPQSDATRKLTVKMSCC
765

121950 VEKSVTRFFSLGLTVADVASLCEMEIQNHTAYCDKVRTPLEQVGLVGNELT
765

FIG. 25

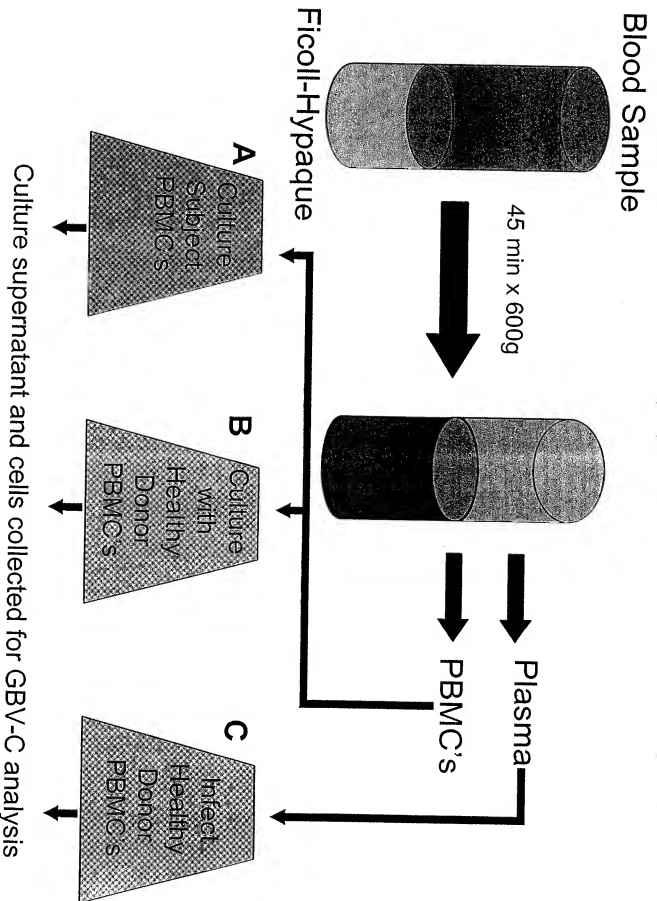


FIG. 26

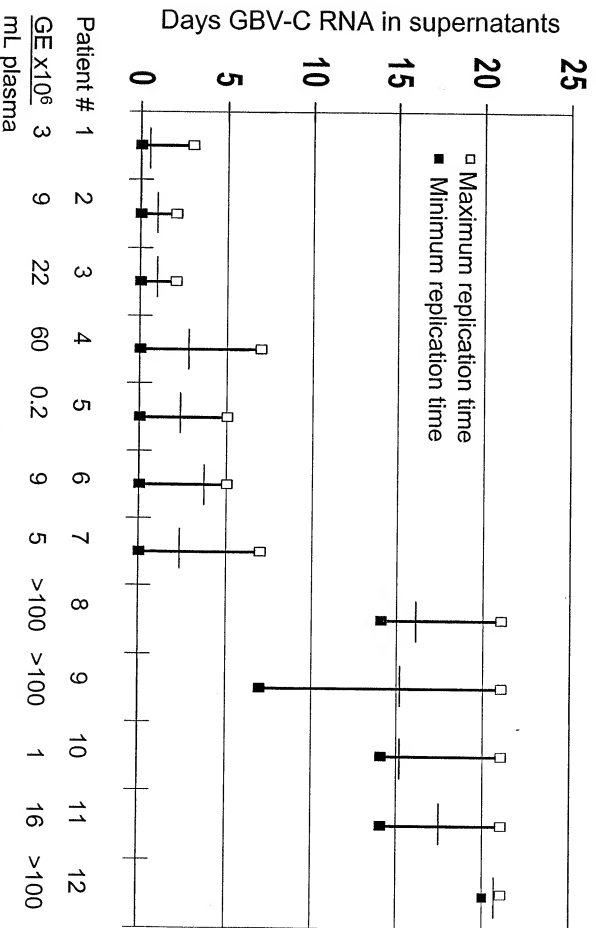


FIG. 27A

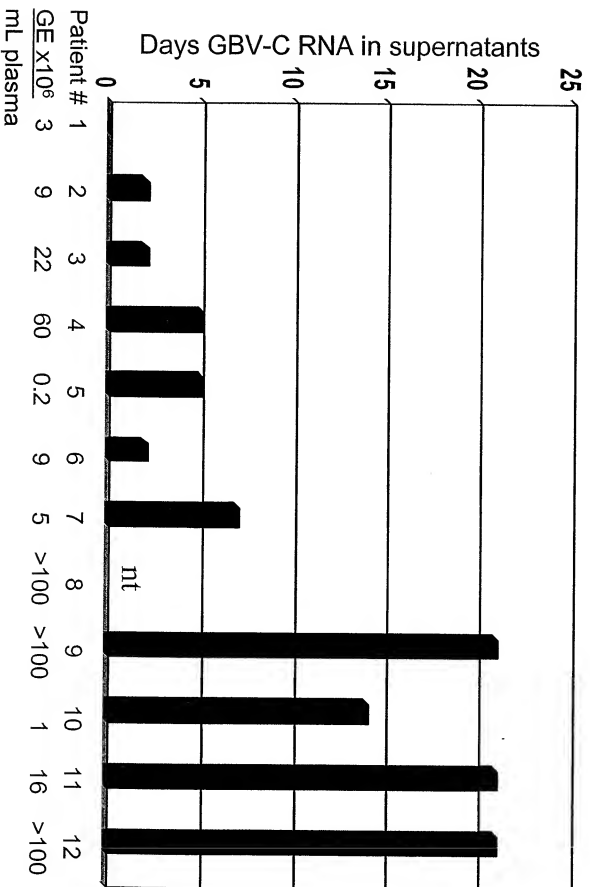


FIG. 27B

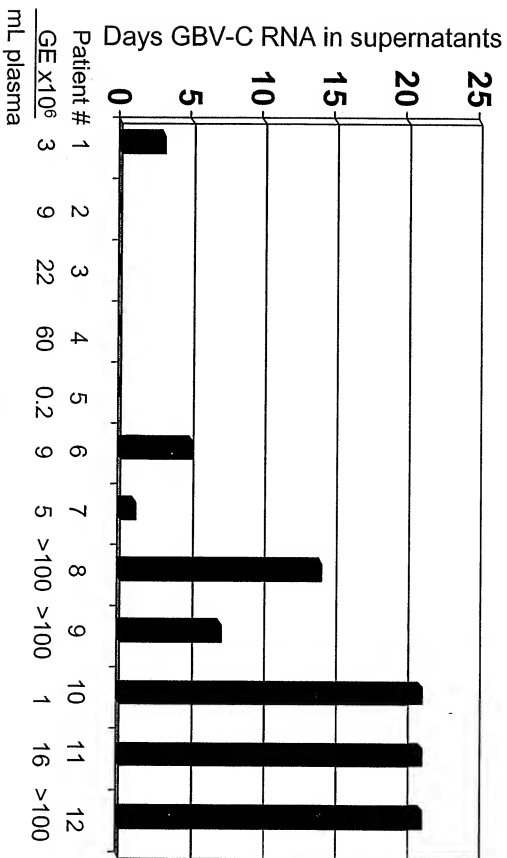


FIG. 27C

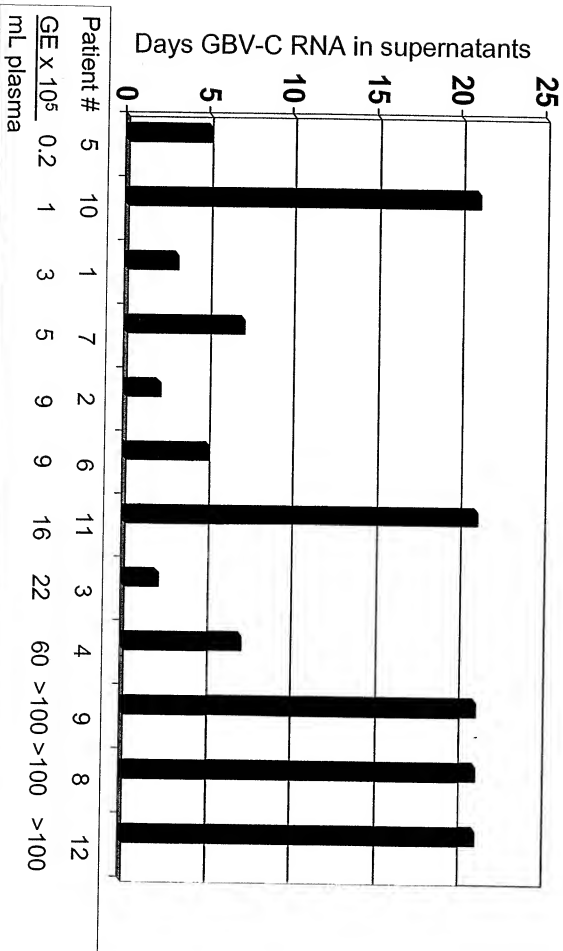


FIG. 28

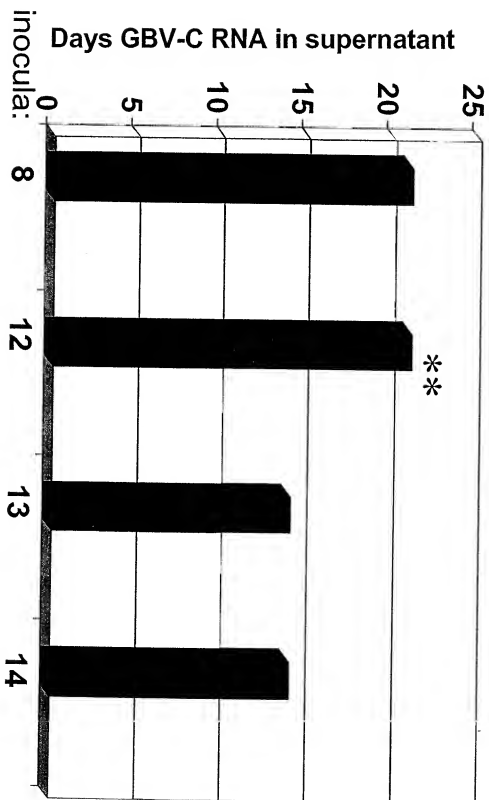


FIG. 29

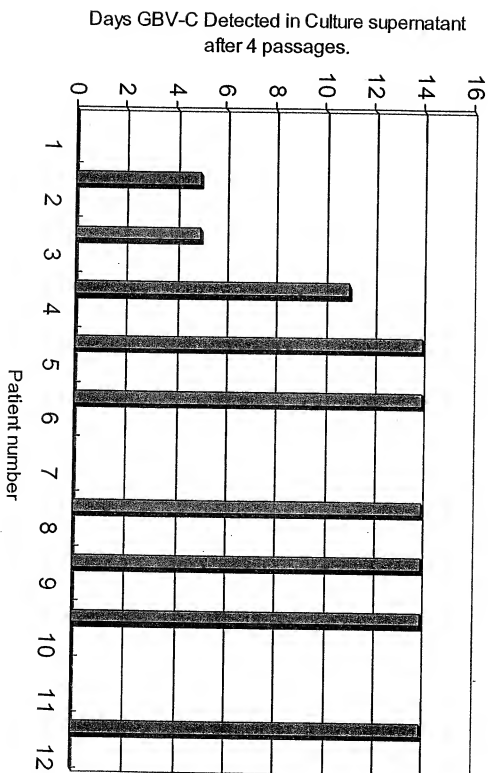


FIG. 30

A.

Plasma GBV-C

TCCTGGCAAAAGTCAACCATTTGACGGGGAGCGCTACACCTTGGCCGACACAGATTGGGCTCAGAGAAAGTGGGGCCCTCTGAGAGTTTCACTCCAGGTGT
 -----C--T-----

 -----C--T-----

Day 14 PBMC supernatant GBV-C

-----C--T-----C--C--A--T--
 -----A-----C--C--A--T--
 -----T-----C--C--A--T--
 -----C--C--A--T--
 -----C--C--A--T--
 -----C--C--A--T--
 -----C--C--A--T--

B.

Plasma GBV-C

CCATTGACATTGGGACGGAGACTGAGGATTCAGAACTGAGGCTGAGGCTGCGGGCGGCGAGCTGGGGCCCTCCAGGCGATCGAGATGCTGCGAG
 -----T-----C-----

Day 14 PBMC supernatant GBV-C

-----T-----A--C--C--T--G--T--T--A--T--
 -----T-----A--C--C--T--G--T--T--A--T--
 -----T-----A--C--C--T--G--T--T--A--T--
 -----T-----A--C--C--T--G--T--T--A--T--
 -----T-----A--C--C--T--G--T--T--A--T--
 -----T-----A--C--C--T--G--T--T--A--T--
 -----T-----A--C--C--T--G--T--T--A--T--

FIG. 31

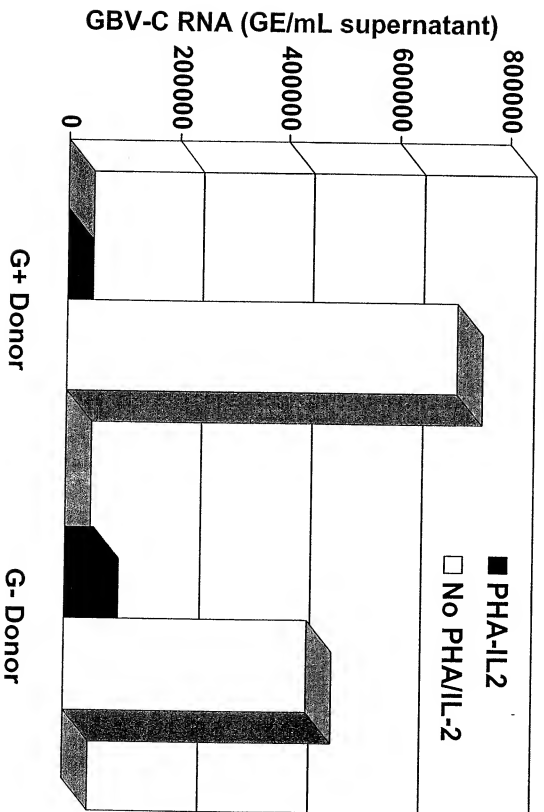


FIG. 32

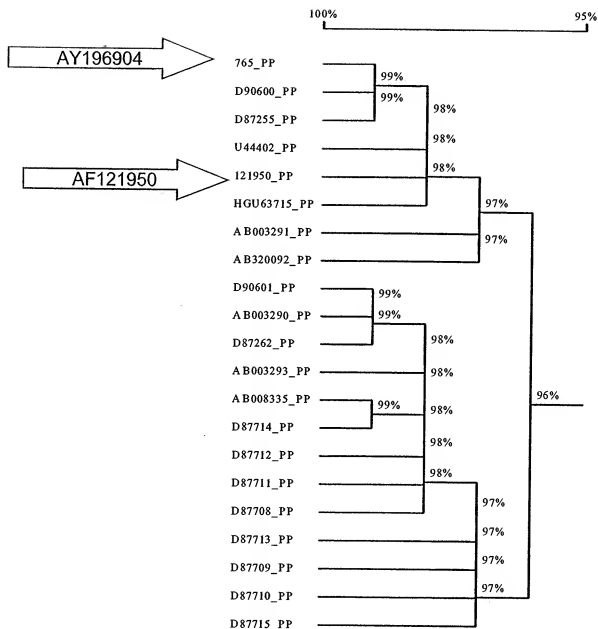


FIG. 33

AY196904

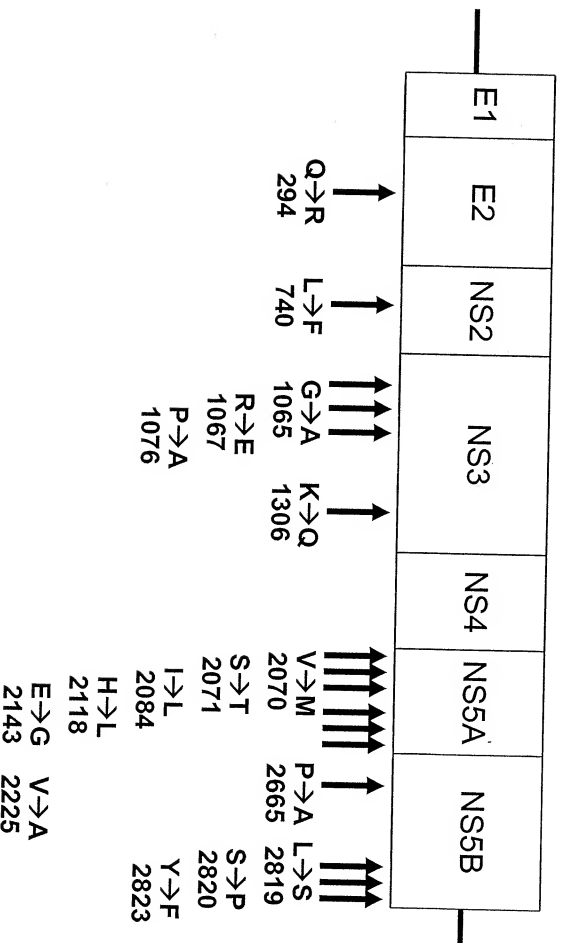


FIG. 34A

AA 2457 AF121950 FQYTPNQRIREMLKL
AY196904 -----VK-----

AA 2791 AF121950 GIPGAFPLSPPYMGVV
AY196904 -----G-SP---F-----

121950	VALVNRPEKVDEVGYVWDLNEMIMRQVMMARLRALCPVVSILPLMHCGEWSGE	
196904	-----	
121950	WLLDGHVESRCLCGCVITGDVINGQLKDPYSTKLGRHYWMGTVPVNMIGYETSPLLA	
196904	----- E -----	
121950	SDTPKVVPEFGTSGMAEVVVPTPHVIRRTSAYKLLRQQLSAAVAEPYYVDGIPVSWDADA	
196904	-----	
121950	RAPAMVYGGQSVTIDGERYTLPHQLRLRNVAPEVSSEVSIDIGTETEDSELTEADLPDA	<u>Region homologous to the HCV ISDR</u>
196904	----- MT-L -----	
121950	AAALQAIENMARILPEPHIDVIMEDCSTPSLCGSSREMPVWGEDIPTTPSPALLISTESSPDE	
196904	----- L ----- G ----- S -----	
121950	KTPSVSSSQEDTPSSDSFEVIOESETPAEGESVFNVALSVLKALFPQSDATRKLTVMKSCC	
196904	-----	
121950	VEKSVTRFEFSLGLTVADAVASLCEMEIQNHHTAYCDKVRTPIELQVGCIVGNELT	
196904	A -----	

FIG. 34C